

## СВОЙСТВА СПЛАВОВ СИСТЕМЫ $TlInSe_2 - TlGdSe_2$

Д.Д. БАЙРАМОВ, Р.М. ИСМАЙЛОВ

*Азербайджанский Индустриальный Институт  
г. Сумгаит, 43<sup>й</sup> - квартал*

В настоящей работе приводятся результаты исследования системы  $|TlInSe_2 - TlGdSe_2|$  методами дифференциального-термического (ДТА), микроструктурного (МСА), рентгенофазового (РФА) анализов и измерения микротвердости.

В работах [1,2] выполнен синтез и в некоторых случаях детально исследованы физико-химические [3], электрофизические [4,5] и теплофизические свойства сплавов системы  $TlInX_2^{VI} - TlLnX_2^{VI}$ , где Ln - лантаноиды,  $X_2^{VI}$  - S, Se, Tl. Показано существование в этих системах широких областей растворимости на основе исходных соединений типа  $TlInX_2^{VI}$ . Однако в литературе не имеется сведений по рентгенографическому и электрофизическому исследованию сплавов системы  $TlInSe_2 - TlGdSe_2$ .

Исходными веществами служили элементы высокой чистоты: Tl - 99,99 масс.%; Gd - 99,5 масс.%; In - 99,999 масс.%; Se - марки В-5. За исключением гадолиния чистота исходных элементов вполне удовлетворительна. Несмотря на то, что значительную часть примесей в гадолинии составляют соседние лантаноиды, которые не должны вызвать резкого изменения свойств образцов, проведены работы по очистке гадолиния методом зонной плавки. Установлено, что 8-10-кратная зонная очистка позволяет повысить чистоту данного элемента до 99,7 масс.%. Сплавы системы синтезировали следующим образом. Исходные элементы, загруженные в вакуумированную до 0,01 Па ампулу, помещали в печь. В зависимости от содержания гадолиния печь нагревали до температуры 800-1000 К (до полного исчезновения паров селена). Для предотвращения бурной реакции между расплавленным селеном и стружками Gd, их помещали в разные полена П-образной кварцевой ампулы. Образовывался однородный по внешнему виду тонкодисперсный порошок. Взаимодействие металла со стенками ампулы не наблюдалось. Гомогенизирующий отжиг проводили при 1200-1250 К в течение недели. Образцы системы  $TlInSe_2 - TlGdSe_2$  готовили путем сплавления соединения  $TlInSe_2$  и  $TlGdSe_2$  в разных состояниях. При этом температуру в печи повышали со скоростью 25-50 к/ч до 1150-1250 К. Ампулы выдерживали при этой температуре 4-5 ч и медленно охлаждали до температуры отжига, определенной предварительно по кривым ДТА. Сплавы, содержащие до 10 мол. %  $TlGdSe_2$ , отжигали при 550-600 К в течение 48 ч, а сплавы с концентрацией  $TlGdSe_2$  10-30 мол.% - при 800-820 К в течение 96 ч. После чего температуру снижали до комнатной со скоростью 15-20 к/ч.

Исследование методами ДТА, РФА электрических свойств образцов и измерением микротвердости определили границы растворимости  $TlGdSe_2$  в  $TlInSe_2$  при комнатной температуре (рис. 1,2). Все эффекты по кривой ДТА - эндотермические и обратимые. Во всех сплавах кроме  $TlInSe_2$  обнаружены по два эффекта; при 1000-860 и 1030-950 К. Первый эффект соответствует солидусу, а второй - ликвидусу системы  $TlInSe_2 - TlGdSe_2$ . На термо-

грамммах чистого  $TlInSe_2$  наблюдается лишь один эффект при 1040 К, соответствующий точке плавления  $TlInSe_2$ .

Для выявления микроструктуры образцов использовали полировка и травление в разбавленной  $HNO_3$  (1:1) и смеси  $H_2O_2$  и  $NaOH$  (1:3). Установлено, что сплав, содержащий 10 мол.%  $TlGdSe_2$ , является однофазным при комнатной температуре, все остальные образцы - двухфазные механические смеси, состоящие из эвтектики и светлой фазы (твердые растворы на основе  $TlInSe_2$ ). Состав эвтектики при 920 К соответствует 19,8 мол.%  $TlGdSe_2$ . На основе дифференциального-термического и микроструктурного анализа построили часть диаграммы  $TlInSe_2 - TlGdSe_2$  при содержании  $TlGdSe_2 \leq 30$  мол.% (рис. 1, а).

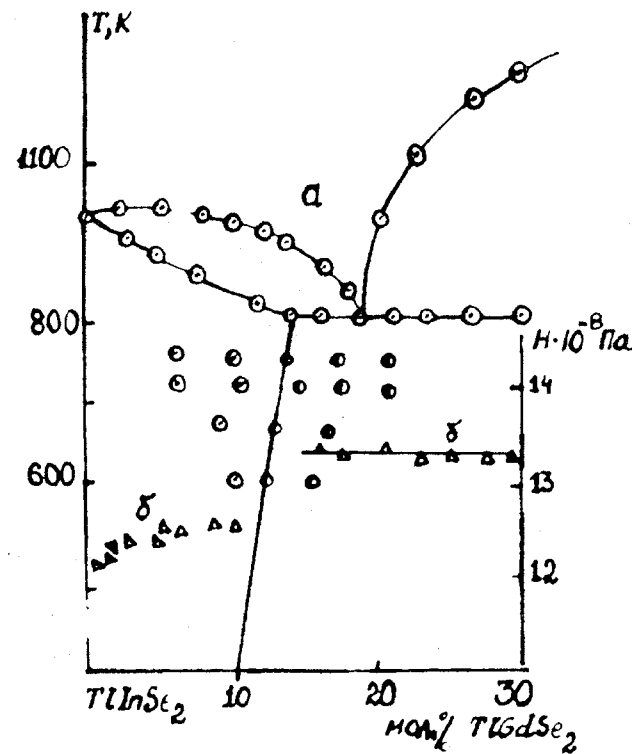


Рис. 1. Часть диаграммы состояния (а) и значение микротвердости (б) сплавов системы  $TlInSe_2 - TlGdSe_2$  при  $TlGdSe_2 \leq 30$  мол %

В области твердых растворов значение микротвердости (рис. 1, б) увеличивается, а в области механической смеси значения микротвердости для каждой фазы остаются без изменения.

РФА проведен на основе дифрактограмм порошка, снятых на приборе Дрон-1,5 в  $CiK_{\alpha}$ -излучении. Данные МСА подтверждаются результатами РФА (рис. 2). Как

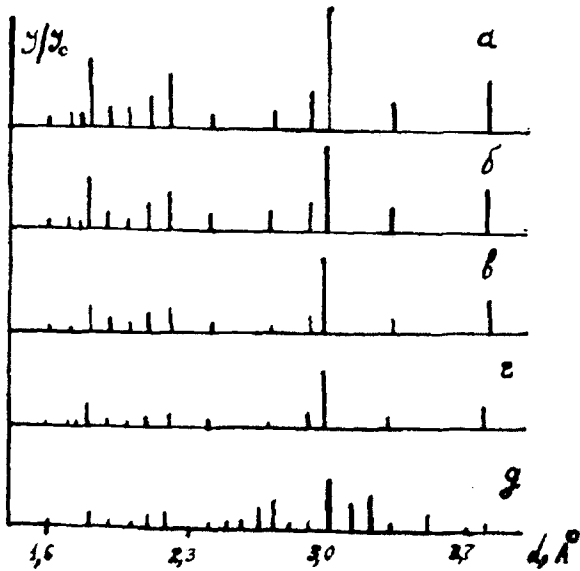


Рис.2. Схемы рентгенограмм твердых растворов  $TlIn_{1-x}Gd_xSe_2$  с  $x=0$  (а); 0,03(б); 0,06 (в); 0,08 (г); 0,10 (д).

видно из рис.2, в дифрактограмме сплава состава 10 мол. %  $TlGdSe_2$  повторяются линии, свойственные  $TlInSe_2$ , следовательно он является твердым раствором на основе  $TlInSe_2$ . Видно, что с увеличением концентрации  $TlGdSe_2$  в смеси до 10 мол. % рентгенодифрактометрические линии, характерные для  $TeInSe_2$ , монотонно уменьшаются, что свидетельствует о входлении атомов Gd в структуры  $TlInSe_2$  и образовании твердых растворов  $TlIn_{1-x}Gd_xSe_2$ . Положение линий отражения, соответствующих твердому раствору  $TeIn_{1-x}Gd_xSe_2$  ( $0,2 \leq x \leq 0,10$ ), при этом не меняются. Таким образом, анализ дифрактограммы показывает, что в системе  $TlInSe_2-TlGdSe_2$  образуется ряд твердых растворов и его протяженность ограничивается содержанием 10 мол. %  $TlGdSe_2$ , и что фазы, прилегающие к  $TlInSe_2$ , кристаллизуются в тетрагональной сингонии на основе решетки  $TlInSe_2$ .

Параметры элементарных ячеек а и с кристаллических решеток твердых растворов  $TlIn_{1-x}Gd_xSe_2$ , рассчитанные по измеренным значениям межплоскостных расстояний ( $d$ ) увеличиваются с увеличением содержания  $TlGdSe_2$  в  $TlInSe_2$  до 10 мол. % (рис 3,а), что, по-видимому, связано с различием ионных радиусов индия и гадолиния ( $r_{In}=0,92 \text{ \AA}$   $r_{Gd}=0,94 \text{ \AA}$ ) [6,7]. Можно полагать, что наблюденный характер изменения а и с при замещении In на Gd обуславливает значительную деформацию кристаллических решеток твердых растворов, что является причиной ограниченной области гомогенности.

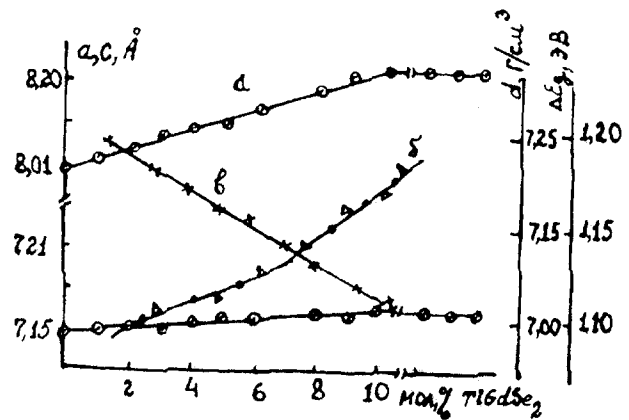


Рис.3 Концентрационные зависимости параметров элементарных ячеек (а), рентгенографической (1) и пикнометрической (2), плотности (б) и ширины запрещенной зоны (в) сплавов системы  $TlInSe_2-TlGdSe_2$

Зависимость значений плотности от состава показала монотонные изменения значений  $d$  твердых растворов  $TlIn_{1-x}Gd_xSe_2$  с небольшим отклонением от линейности (рис.3,б).

Методом Бриджмена - Стокбаргера выращены монокристаллы твердых растворов  $TlIn_{1-x}Gd_xSe_2$  ( $0 \leq x \leq 0,10$ ), скальвающиеся в виде параллелепипедов с темно-зеркальными поверхностями.

Ширины запрещенных зон исследованных фаз определялись по высокотемпературным наклонам температурных зависимостей электропроводности ( $1/\sigma = f(10^3/T)$ ) и эффекта Холла ( $1/qRT^{3/2} = f(10^3/T)$ ) различных составов твердых растворов  $TlIn_{1-x}Gd_xSe_2$  (рис.3,в). Видно, что ширина запрещенной зоны при частичном замещении атомов индия атомами гадолиния уменьшается. Это также позволяет заключить, что концентрационный интервал образования твердых растворов системы  $TlInSe_2-TlGdSe_2$  составляет 0-10 мол. %, что коррелирует с результатами ДТА, МСА, РФА анализов и подтверждает их.

## ВЫВОДЫ

В системе  $TlInSe_2-TlGdSe_2$  существует ограниченный ряд твердых растворов замещения, образующихся со стороны  $TlInSe_2$ ; максимальная растворимость  $TlGdSe_2$  в  $TlInSe_2$  составляет 10 мол. %. При частичном замещении атомов индия атомами гадолиния ширина запрещенной зоны уменьшается, а параметры элементарной ячейки увеличиваются.

- [1] G.D.Guseynov, E.M.Kerimova, R.S.Gamidov. Phys. Stat. Solids, 1969, v.34, № 1, p. 34-38.
- [2] Э.М.Годжаев, М.М.Зарбалиев, К.М.Рзаев и др. Журн. физ. химии, 1975, т.40, №9, с. 2458-2459.
- [3] К.М.Годжаев, К.Д.Оруджев, В.А.Мамедов, Ф.С.Мирзоева. Изв. АН. СССР, Неорган. материалы, 1981, Е.17, №8 с.1388-1391.
- [4] Э.М.Гаджиев, К.Д.Оруджев. и др. Изв. АН. СССР, Неорган. материалы, 1981, т.17, №2, с.233-235.
- [5] Э.М.Годжаев. Структуры, электронные и тепловые свойства сложных полупроводников на основе Sp и 4f: Дис на соискании ученой степени доктора физ.-мат. Наук, Баку, ИФАН, 1985, с. 350-360
- [6] Физика и химия редкоземельных элементов. Под ред. Гианайднера К. и Айринга Л.М.: Металургия, 1982, с. 336 (справочник).
- [7] Б.Ф.Ормонт. Введение в физическую химию и кристаллохимию полупроводников М.: Высш. шк., 1973, с. 655.

C.C. Bayramov, R.M. İsmayılov

## TlInSe<sub>2</sub>-TlGdSe<sub>2</sub> SİSTEM ƏRİNTİLƏRİNİN XASSƏLƏRİ

Mənalədə TlInSe<sub>2</sub> birləşməsinin In atomlarının hissə-hissə nadir torpaq elementi-Gd ilə əvəz etdirildə, alınmış bərk məhlullar tədqiq edilmişdir. Göstərilmişdir ki, TlInSe<sub>2</sub>-də TlGdSe<sub>2</sub>-nin tam həll olunması maksimum 10 mol.% təşkil edir. Müəyyən olunmuşdur ki, TlInSe<sub>2</sub>-birləşməsində Gd atomlarının miqdarı artıqca, bərk məhlullarda elementar qəfəsin parametrləri artır, qadağan olunmuş zonanın eni isə azalır.

D.D. Bayramov, R.M. Ismaylov

## PROPERTIES OF ALLOYS OF TlInSe<sub>2</sub>-TlGdSe<sub>2</sub>

Bounded series of solid substitution solutions formed in the aspect of TlInSe<sub>2</sub> exist in the system of TlInSe<sub>2</sub> -TlGdSe<sub>2</sub>; maximum solubility TlGdSe<sub>2</sub> in TlInSe<sub>2</sub> constitutes 10 mol.%.

In partial substitution of indium atoms the forbidden band width decreases and the elementary cell parameters increase.